

## · 研究报告 ·

# 右美托咪定对脓毒症大鼠早期和晚期炎症介质表达的影响

徐丽 鲍红光 张勇 王晓亮 方兆晶

【关键词】 右美托咪定； 脓毒症； 高迁移率族蛋白 B1； 肿瘤坏死因子 - $\alpha$ ； 白细胞介素 -6

脓毒症是目前引起重症监护病房 (ICU) 患者死亡的主要原因之一<sup>[1]</sup>。近些年，尽管人们对脓毒症发病机制进行了一定的研究，也提出了针对其早期炎症因子如肿瘤坏死因子 - $\alpha$  (TNF- $\alpha$ )、白细胞介素 -6 (IL-6) 的靶点治疗，可是脓毒症的病死率仍高达 50% 左右，严重威胁着人们的健康<sup>[2]</sup>。右美托咪定 (DEX) 是一种高选择性的  $\alpha_2$ -肾上腺素能受体激动剂，具有镇静、镇痛、遗忘、抗焦虑、无呼吸抑制等特点<sup>[3]</sup>。有研究报道，DEX 可降低脓毒症大鼠的死亡率并抑制其炎症反应<sup>[4-6]</sup>，但有关 DEX 对脓毒症大鼠晚期炎症因子高迁移率族蛋白 B1 (HMGB1) 影响的研究报道甚少。本研究中拟采用盲肠结扎穿孔术 (CLP) 制备大鼠脓毒症模型，并用 DEX 进行干预，评价 DEX 对 TNF- $\alpha$ 、IL-6 和 HMGB1 的影响。

### 1 材料与方法

**1.1 动物模型制备：** 清洁级健康雄性 Wistar 大鼠 136 只，10~14 周龄，体重 250~300 g，由南京医科大学附属南京医院动物实验中心提供，合格证号：SCXK (苏)2009-0001。采用 CLP 建立脓毒症动物模型。对照组大鼠剖腹后仅分离盲肠，不结扎和穿孔。术后皮下注射生理盐水 10 ml/kg 补充体液。

本实验中动物处置方法符合动物伦理学标准。

**1.2 动物分组及处理：** 136 只大鼠按随机数字表法分为对照组、脓毒症模型组、DEX 预处理组及 DEX 后处理组 4 组，每组 34 只。DEX 两组大鼠分别于制模前、制模后 2 h 腹腔注射 DEX 40  $\mu\text{g}/\text{kg}$  (江苏恒瑞医药生产)；对照组、脓毒症模型组

均给予等量生理盐水。各组分别于术后 4、8、12 和 24 h 随机活杀 6 只大鼠并留取血和肺组织标本；每组剩余的 10 只大鼠用来观察术后 7 d 的死亡率，同时绘制大鼠的生存曲线。观察期间死亡的动物被排除并重新制模补充。

**1.3 标本采集与处理：** 腹腔注射戊巴比妥麻醉大鼠，开胸经心脏取血 5 ml，离心取血清，同时留取肺组织约 100 mg，于 -80 °C 下保存待测。

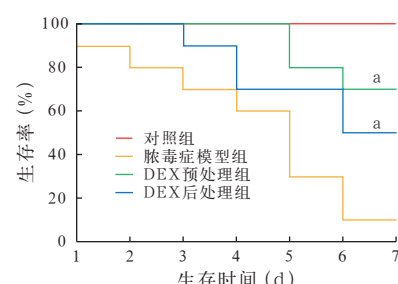
**1.3.1 血清 TNF- $\alpha$ 、IL-6、HMGB1 水平测定：** 采用酶联免疫吸附试验 (ELISA) 检测血清 TNF- $\alpha$ 、IL-6、HMGB1 水平，按试剂盒 (Amersham 公司，美国) 说明书步骤进行操作。

**1.3.2 肺组织 HMGB1 mRNA 表达测定：** 制备肺组织匀浆，用 TRIzol 一步法提取总 RNA，逆转录成 cDNA，作为实时荧光定量聚合酶链反应 (PCR) 扩增模板。登录 GeneBank 数据库，获得大鼠 HMGB1 以及内参照三磷酸甘油醛脱氢酶 (GAPDH) mRNA 序列，用 Primer 5.0 软件设计特异引物，引物由上海英俊生物公司合成。PCR 检测体系：cDNA 3  $\mu\text{l}$ ，上、下游引物各 0.5  $\mu\text{l}$  (10 mmol/L)，2 × SYBR 绿色实时 PCR 混合液 12.5  $\mu\text{l}$ ，用双蒸水补齐总体积 25  $\mu\text{l}$ 。扩增条件：预变性 95 °C 2 min；94 °C 15 s，58 °C 15 s，72 °C 15 s，40 个循环。取各样本的临界循环数 ( $C_t$  值)，计算 HMGB1 mRNA 的相对表达量，获得目的基因相对内参基因的表达倍数。

**1.4 统计学处理：** 采用 SPSS 16.0 统计软件对实验数据进行分析。计量资料以均数 ± 标准差 ( $\bar{x} \pm s$ ) 表示，均进行正态性检验及方差齐性检验，组间比较采用单因素方差分析，组内比较采用重复测量数据的方差分析；采用 Kaplan-Meier 方法比较各组死亡率；相关分析采用 Pearson 相关分析。 $P < 0.05$  为差异有统计学意义。

### 2 结果

**2.1 大鼠死亡率：** 对照组大鼠无死亡；脓毒症模型组大鼠的死亡率 (90%) 明显高于 DEX 预处理组 (30%) 和 DEX 后处理组 (50%，均  $P < 0.05$ )。说明 DEX 预处理和后处理均可显著降低脓毒症大鼠的死亡率。各组大鼠生存曲线见图 1。



注：DEX：右美托咪定；与脓毒症

模型组比较，<sup>a</sup> $P < 0.05$

图 1 各组大鼠生存曲线

**2.2 DEX 对脓毒症大鼠血清 TNF- $\alpha$ 、IL-6、HMGB1 水平的影响 (图 2；表 1)：** 与对照组比较，脓毒症模型组血清 TNF- $\alpha$  及 IL-6 水平均于术后 4 h 明显升高 (均  $P < 0.05$ )，之后逐渐下降，24 h TNF- $\alpha$  恢复至对照组水平；HMGB1 水平于术后 8 h 显著升高，之后逐渐升高至 24 h 达峰值 (均  $P < 0.05$ )。DEX 预处理组和 DEX 后处理组各指标上升幅度明显小于脓毒症模型组 (均  $P < 0.05$ )，但仍明显高于对照组 (均  $P < 0.05$ )。DEX 预处理组与 DEX 后处理组间各时间点血清 TNF- $\alpha$ 、IL-6、HMGB1 水平比较差异无统计学意义 (均  $P > 0.05$ )。

**2.3 DEX 对脓毒症大鼠肺组织 HMGB1 mRNA 表达的影响 (表 1)：** 脓毒症模型组术后 8 h 肺组织 HMGB1 mRNA 表达明显高于对照组，随时间延长表达逐渐增加 (均  $P < 0.05$ )。DEX 预处理组和 DEX 后处理组 HMGB1 mRNA 表达均显著低于脓毒症模型组 (均  $P < 0.05$ )；而 DEX 预处理组和 DEX 后处理组间各时间

DOI: 10.3760/cma.j.issn.1003-0603.2012.09.020

作者单位：210006 江苏，南京医科大学附属南京医院麻醉科

通信作者：鲍红光，Email: hongguang\_bao@hotmail.com

表 1 DEX 对脓毒症大鼠术后不同时间点血清和肺组织 HMGB1 水平的影响 ( $\bar{x} \pm s, n=6$ )

组别	血清 HMGB1 ( $\mu\text{g/L}$ )				肺组织 HMGB1 mRNA			
	4 h	8 h	12 h	24 h	4 h	8 h	12 h	24 h
对照组	5.52 ± 0.12	6.03 ± 0.08	6.02 ± 0.14	6.27 ± 0.23	0.32 ± 0.02	0.33 ± 0.01	0.33 ± 0.08	0.37 ± 0.06
脓毒症模型组	5.47 ± 0.21	10.03 ± 0.36 <sup>a</sup>	12.75 ± 0.73 <sup>a</sup>	15.78 ± 0.46 <sup>a</sup>	0.39 ± 0.07	1.73 ± 0.12 <sup>a</sup>	2.75 ± 0.23 <sup>a</sup>	3.08 ± 0.24 <sup>a</sup>
DEX 预处理组	5.63 ± 0.34	7.43 ± 0.61 <sup>ab</sup>	8.16 ± 0.25 <sup>ab</sup>	9.87 ± 0.42 <sup>ab</sup>	0.33 ± 0.03	0.87 ± 0.24 <sup>ab</sup>	1.01 ± 0.15 <sup>ab</sup>	1.28 ± 0.41 <sup>ab</sup>
DEX 后处理组	5.58 ± 0.15	8.01 ± 0.38 <sup>ab</sup>	8.53 ± 0.52 <sup>ab</sup>	10.84 ± 0.47 <sup>ab</sup>	0.34 ± 0.11	1.01 ± 0.09 <sup>ab</sup>	1.23 ± 0.32 <sup>ab</sup>	1.19 ± 0.34 <sup>ab</sup>

注: DEX: 右美托咪定, HMGB1: 高迁移率族蛋白 B1; 与对照组比较, <sup>a</sup>P<0.05; 与脓毒症模型组比较, <sup>b</sup>P<0.05

HMGB1 mRNA 表达差异无统计学意义 (均 P>0.05)。

**2.4 血清 HMGB1 与肺组织 HMGB1 mRNA 表达的相关性分析:** Pearson 直线相关分析表明, 血清 HMGB1 水平与肺组织 HMGB1 mRNA 表达呈显著正相关 ( $r=0.973, P<0.05$ )。

### 3 讨论

细胞因子在脓毒症的发病机制中起着关键作用, TNF- $\alpha$  和 IL-6 作为早期炎症介质, 被普遍认为是引起脓毒症器官功能障碍和死亡的“核心因子”<sup>[7]</sup>。大量研究证实, TNF- $\alpha$  是脓毒症发展过程中最早出现的细胞因子之一, 能够诱发细胞因子级联反应, 刺激 IL-6、IL-1 等释放, 引起一系列的炎症连锁反应; 血清 TNF- $\alpha$  水平与脓毒症的严重程度密切相关<sup>[8]</sup>。而另据文献报道, IL-6 水平对脓毒症的死亡率亦有很好的预示作用, 阻滞 IL-6 可以提高 CLP 致脓毒症大鼠的存活率<sup>[9-10]</sup>。Wang 等<sup>[11]</sup>于 1999 年首次提出, HMGB1 作为关键的晚期炎症介质参与了脓毒症的发病过程, 是目前脓毒症重要的控制治疗靶点。在脓毒症的临床研究和动物实验中, 血清 HMGB1 水平升高, 且升高程度与脓毒症的严重程度及预后密切相关<sup>[11-12]</sup>。Ulloa 和 Tracy<sup>[13]</sup>研究脓毒症动物模型发现, 采用 HMGB1 拮抗剂能够阻滞脓毒症继发多器官功能衰竭, 改善脓毒症动物的生存率。

本研究显示: 脓毒症早期血清 TNF- $\alpha$  和 IL-6 水平显著升高, 以 CLP 术后 4 h 最为显著, 随后逐渐下降; 术后 8、12、24 h 血清 HMGB1 含量和肺组织中 HMGB1 mRNA 表达水平均较对照组明显升高。直线相关分析显示, 大鼠血清 HMGB1 含量与肺组织 HMGB1 mRNA 表达水平呈显著正相关。

DEX 是一种新型的高选择性  $\alpha 2$ -肾上腺素能受体激动剂, 目前已被用于

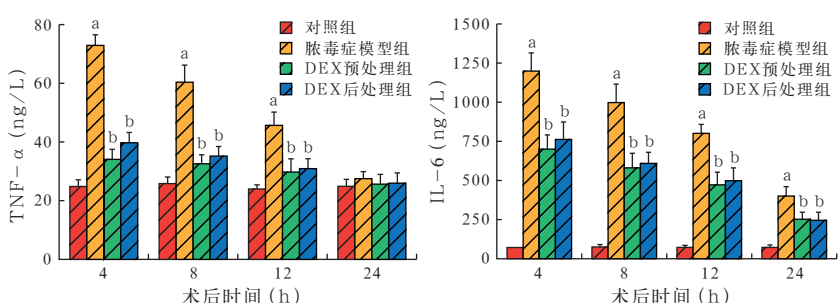


图 1 DEX 对脓毒症大鼠术后不同时间点血清 HMGB1 和肺组织 HMGB1 mRNA 水平的影响

重症患者, 具有良好的镇静和镇痛作用, 且能够维持患者正常免疫反应<sup>[14]</sup>。近年来研究表明, DEX 可以抑制脓毒症的炎症反应, 减少 TNF- $\alpha$ 、IL-6 等炎症因子的表达。Hofer 等<sup>[15]</sup>发现 DEX 可以明显抑制 CLP 诱导的 TNF- $\alpha$ 、IL-6 产生, 改善脓毒症大鼠的预后。Taniguchi 等<sup>[5]</sup>研究表明, DEX 可以减少大鼠对内毒素的炎症反应, 从而改善预后。本研究结果发现, DEX 应用于脓毒症大鼠, 无论是预处理还是后处理均可显著改善其生存率, 早期炎症介质 TNF- $\alpha$ 、IL-6 及晚期炎症介质 HMGB1 的血清水平和肺组织 HMGB1 mRNA 表达均明显降低, 表明 DEX 通过抑制早期炎症介质 TNF- $\alpha$ 、IL-6 及晚期炎症介质 HMGB1 的表达而发挥抗炎作用, 从而改善脓毒症大鼠的生存率。

DEX 抑制炎症反应的机制尚不清楚。Gu 等<sup>[16]</sup>发现 DEX 可以抑制 Toll 样受体 4(TLR4)介导的炎症通路。HMGB1 作为 TLR4 的内源性受体, 与 TLR4 结合后激活髓样分化因子 88(MyD88)依赖和非依赖性两条信号转导通路, 从而进一步激活下游信号转导分子丝裂素活化蛋白激酶 (MAPKs) 以及核转录因子 - $\kappa$ B (NF- $\kappa$ B)<sup>[17-18]</sup>。通过这些信号通路, 可以诱导炎症因子如 TNF- $\alpha$ 、IL-6 等的产生

和释放, 而这些炎症因子又能够诱发 HMGB1 的合成与释放, 因此在前炎症因子与 HMGB1 之间形成了正反馈机制。而本实验中发现, DEX 不但下调了脓毒症大鼠血清 TNF- $\alpha$ 、IL-6 的水平, 同时减少了血清和肺组织中 HMGB1 的表达, 因而推测 DEX 通过抑制 HMGB1 表达, 从而抑制 TLR4 介导的一系列炎症反应。

### 参考文献

- [1] 姚咏明, 盛志勇. 脓毒症研究的若干新动态. 中国危重病急救医学, 2000, 12: 323-325.
- [2] 梁华平, 姚咏明, 王正国. 关注脓毒症及其结局的预测研究. 中国危重病急救医学, 2005, 17: 709-711.
- [3] Phan H, Nahata MC. Clinical uses of dexmedetomidine in pediatric patients. Paediatr Drugs, 2008, 10: 49-69.
- [4] Sezer A, Memiş D, Usta U, et al. The effect of dexmedetomidine on liver histopathology in a rat sepsis model: an experimental pilot study. Ulus Travma Acil Cerrahi Derg, 2010, 16: 108-112.
- [5] Taniguchi T, Kidani Y, Kanakura H, et al. Effects of dexmedetomidine on mortality rate and inflammatory responses to endotoxin-induced shock in rats. Crit Care Med, 2004, 32: 1322-1326.

- [6] Memiş D, Hekimoğlu S, Vatan I, et al. Effects of midazolam and dexmedetomidine on inflammatory responses and gastric intramucosal pH to sepsis, in critically ill patients. Br J Anaesth, 2007, 98:550-552.
- [7] Wang H, Vishnubhakat JM, Bloom O, et al. Proinflammatory cytokines (tumor necrosis factor and interleukin 1) stimulate release of high mobility group protein-1 by pituicytes. Surgery, 1999, 126:389-392.
- [8] Ebong S, Call D, Nemzek J, et al. Immunopathologic alterations in murine models of sepsis of increasing severity. Infect Immun, 1999, 67:6603-6610.
- [9] Riedemann NC, Neff TA, Guo RF, et al. Protective effects of IL-6 blockade in sepsis are linked to reduced C5a receptor expression. J Immunol, 2003, 170:503-507.
- [10] Remick DG, Bolgos GR, Siddiqui J, et al. Six at six: interleukin-6 measured 6 h after the initiation of sepsis predicts mortality over 3 days. Shock, 2002, 17:463-467.
- [11] Wang H, Bloom O, Zhang M, et al. HMGB-1 as a late mediator of endotoxin lethality in mice. Science, 1999, 285:248-251.
- [12] 邵义明, 姚华国, 梁小仲, 等. 高迁移率族蛋白 B1 表达水平与大鼠脓毒症严重程度及预后关系的实验研究. 中国危重病急救医学, 2006, 18:668-672.
- [13] Ulloa L, Tracey KJ. The "cytokine profile": a code for sepsis. Trends Mol Med, 2005, 11:56-63.
- [14] 黄青青. 右美托咪定在重症监护病房中的应用. 中国危重病急救医学, 2010, 22:578-580.
- [15] Hofer S, Steppan J, Wagner T, et al. Central sympatholytics prolong survival in experimental sepsis. Crit Care, 2009, 13:R11.
- [16] Gu J, Sun P, Zhao H, et al. Dexmedetomidine provides renoprotection against ischemia-reperfusion injury in mice. Crit Care, 2011, 15:R153.
- [17] Akira S, Takeda K. Toll-like receptor signalling. Nat Rev Immunol, 2004, 4:499-511.
- [18] Akira S, Takeda K, Kaisho T. Toll-like receptors: critical proteins linking innate and acquired immunity. Nat Immunol, 2001, 2:675-680.

(收稿日期:2012-03-28)

(本文编辑:李银平)

## ·读者·作者·编者·

### 本刊常用的不需要标注中文的缩略语

急性肺损伤(ALI)	白细胞介素(IL)	原位末端缺刻标记法(TUNEL)
急性呼吸窘迫综合征(ARDS)	核转录因子-κB(NF-κB)	链霉素-亲和素-生物素-过氧化物酶法(SABC)
急性冠脉综合征(ACS)	C-反应蛋白(CRP)	十二烷基硫酸钠-聚丙烯酰胺凝胶电泳(SDS-PAGE)
全身炎症反应综合征(SIRS)	降钙素原(PCT)	天冬氨酸特异性半胱氨酸蛋白酶(caspase)
多器官功能障碍综合征(MODS)	动脉血二氧化碳分压( $\text{PaCO}_2$ )	高迁移率族蛋白 B1(HMGB1)
多器官功能衰竭(MOF)	动脉血氧分压( $\text{PaO}_2$ )	胱抑素 C(CysC)
呼吸机相关性肺炎(VAP)	平均动脉压(MAP)	$\beta$ -肌动蛋白( $\beta$ -actin)
慢性阻塞性肺疾病(COPD)	肺动脉楔压(PAWP)	三磷酸甘油醛脱氢酶(GAPDH)
急性肾损伤(AKI)	心排血指数(CI)	苏木素-伊红染色(HE染色)
急性肾衰竭(ARF)	脉搏(经皮)血氧饱和度( $\text{SpO}_2$ )	肠内营养(EN)
重症监护病房(ICU)	氧合指数( $\text{PaO}_2/\text{FiO}_2$ , OI)	肠外营养(PN)
急性生理学与慢性健康状况评分系统(APACHE)	一氧化氮(NO)	全胃肠外营养(TPN)
格拉斯哥昏迷评分(GCS)	一氧化碳(CO)	美国食品与药物管理局(FDA)
格拉斯哥预后评分(GOS)	人脐静脉内皮细胞(HUVEC)	世界卫生组织(WHO)
序贯器官衰竭评分(SOFA)	肾小球滤过率(GFR)	美国心脏病学会(ACC)
简化急性生理学评分系统(SAPS)	肌酐清除率(CCr)	美国胸科医师协会(ACCP)
器官功能衰竭评分(OSF 评分)	丙氨酸转氨酶(ALT)	危重病医学会(SCCM)
多器官功能障碍评分(MOD 评分)	天冬氨酸转氨酶(AST)	欧洲危重病医学会(ESICM)
损伤严重程度评分(ISS)	异硫氰酸荧光素 FITC	美国心脏协会(AHA)
重症监护谵妄筛查量表(ICDSC)	四甲基偶氮唑盐(MTT)	欧洲肠外肠内营养学会(ESPEN)
心肺复苏(CPR)	脂多糖(LPS)	连续性肾脏替代治疗(CRRT)
脉搏指示连续心排血量(PiCCO)	支气管肺泡灌洗液(BALF)	连续性静-静脉血液滤过(CVVH)
早期目标导向治疗(EGDT)	磷酸盐缓冲液(PBS)	受试者工作特征曲线(ROC 曲线)
磁共振成像(MRI)	乙二胺四乙酸(EDTA)	弥散性血管内凝血(DIC)
随机对照临床试验(RCT)	3,3'-二氨基联苯胺(DAB)	最低抑菌浓度(MIC)
盲肠结扎穿孔术(CLIP)	逆转录-聚合酶链反应(RT-PCR)	
肿瘤坏死因子(TNF)	蛋白质免疫印迹试验(Western blotting)	
	酶联免疫吸附试验(ELISA)	